

# Percolação Invasiva

Jonathan Márcio Amâncio Sales

Universidade Federal do Ceará  
Departamento de Física

04 de Outubro de 2018

## 1 Percolação Invasiva

- Modelo
- Criticalidade Auto-Organizada
- Dimensão Fractal
- Simulações
- Avalanches

## 2 Algoritmo Priority Heap

- Árvore binária armazenada em um vetor
- Min-Heap - Algoritmos

- D. Wilkinson e J. F. Willemsen, 1983.

# Percolação Invasiva - Modelo

- D. Wilkinson e J. F. Willemsen, 1983.
- A dinâmica do sistema é determinada localmente pelas forças capilares ( $Ca \ll 1$ ).

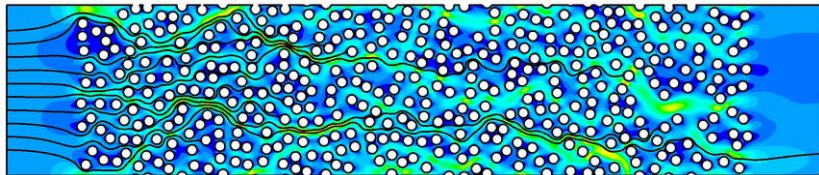


Figura tirada de: Araújo, A. D., José S. Andrade Jr, and Hans Jürgen Herrmann. **Critical role of gravity in filters.** Physical review letters 97.13 (2006).

# Percolação Invasiva - Modelo

- Esquema ilustrativo do modelo de percolação invasiva em uma rede quadrada com  $L = 5$ .

0.05	0.10	0.03	0.82	0.08
0.37	0.41	0.74	0.03	0.63
0.58	0.72		0.29	0.83
0.44	0.91	0.39	0.55	0.93
0.73	0.08	0.71	0.01	0.28

0.05	0.10	0.03	0.82	0.08
0.37	0.41	0.74	0.03	0.63
0.58	0.72			0.83
0.44	0.91	0.39	0.55	0.93
0.73	0.08	0.71	0.01	0.28

0.05	0.10	0.03	0.82	0.08
0.37	0.41	0.74		0.63
0.58	0.72			0.83
0.44	0.91	0.39	0.55	0.93
0.73	0.08	0.71	0.01	0.28

0.05	0.10	0.03	0.82	0.08
0.37	0.41	0.74		0.63
0.58	0.72			0.83
0.44	0.91		0.55	0.93
0.73	0.08	0.71	0.01	0.28

► Percolação Invasiva,  $L = 1024$

---

**Algoritmo 1:** PERCOLAÇÃO INVASIVA

---

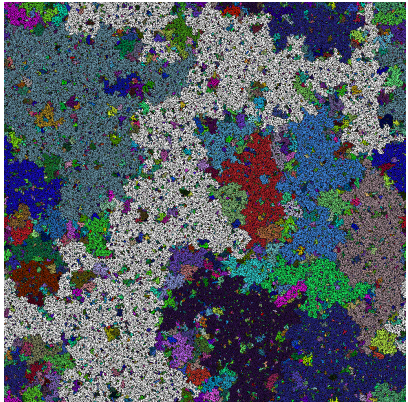
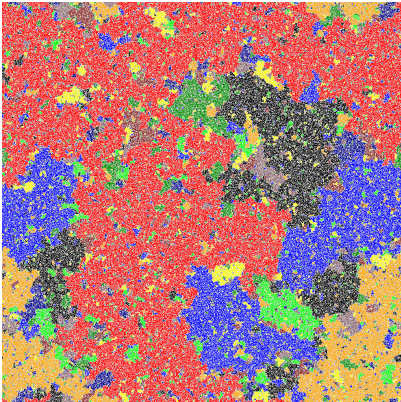
```
1 início  
2   Preencher a matriz aleatoriamente:  $r_i \in [0, 1]$ ;  
3   Definir invasores;  
4   Definir fronteira;  
5   enquanto o sistema não percolar faça  
6     Invadir o menor sítio da fronteira;  
7     Atualizar fronteira;  
8   fim  
9 fim
```

---

# Criticalidade Auto-Organizada

- No modelo tradicional de percolação procura-se a probabilidade crítica de percolação,  $p_c$ .

$$M(L, p) \propto \begin{cases} \ln L, & \text{se } p < p_c, \\ L^{D_f}, & \text{se } p = p_c, \\ L^d, & \text{se } p > p_c, \end{cases}$$



# Criticalidade Auto-Organizada

- No modelo tradicional de percolação procura-se a probabilidade crítica de percolação,  $p_c$ .

$$M(L, p) \propto \begin{cases} \ln L, & \text{se } p < p_c, \\ L^{D_f}, & \text{se } p = p_c, \\ L^d, & \text{se } p > p_c, \end{cases}$$

- O modelo de percolação invasiva tem criticalidade auto-organizada, ou seja, o sistema evolue espontaneamente para a criticalidade.



# Criticalidade Auto-Organizada

- No modelo tradicional de percolação procura-se a probabilidade crítica de percolação,  $p_c$ .

$$M(L, p) \propto \begin{cases} \ln L, & \text{se } p < p_c, \\ L^{D_f}, & \text{se } p = p_c, \\ L^d, & \text{se } p > p_c, \end{cases}$$

- O modelo de percolação invasiva tem criticalidade auto-organizada, ou seja, o sistema evolue espontaneamente para a criticalidade.
- Portanto, a relação entre a massa (ou número de sítios) do agregado invasor,  $M$ , e o tamanho da rede,  $L$ , obedece a seguinte lei de potência:

$$M(L) \propto L^{D_f}, \quad (1)$$

onde  $D_f$  é a dimensão fractal do agregado invasor.

# Percolação Invasiva - Dimensão Fractal

Há dois modelos de percolação invasiva.

- O modelo de *percolação invasiva sem aprisionamento* (*No Trapping Invasion Percolation*) que tenta descrever o comportamento de um fluido infinitamente compressível, onde a dimensão fractal é  $D_f = 91/48 \simeq 1.8958 \simeq 1.89$ , para duas dimensões.

# Percolação Invasiva - Dimensão Fractal

Há dois modelos de percolação invasiva.

- O modelo de *percolação invasiva sem aprisionamento* (*No Trapping Invasion Percolation*) que tenta descrever o comportamento de um fluido infinitamente compressível, onde a dimensão fractal é  $D_f = 91/48 \simeq 1.8958 \simeq 1.89$ , para duas dimensões.
- O modelo de *percolação invasiva com aprisionamento* (*Trapping Invasion Percolation*), que tenta descrever o comportamento de um fluido incompressível, ou seja, quando há a formação permanente de bolhas do fluido defensor; onde a dimensão fractal é  $D_f = 1.82$ , para duas dimensões.

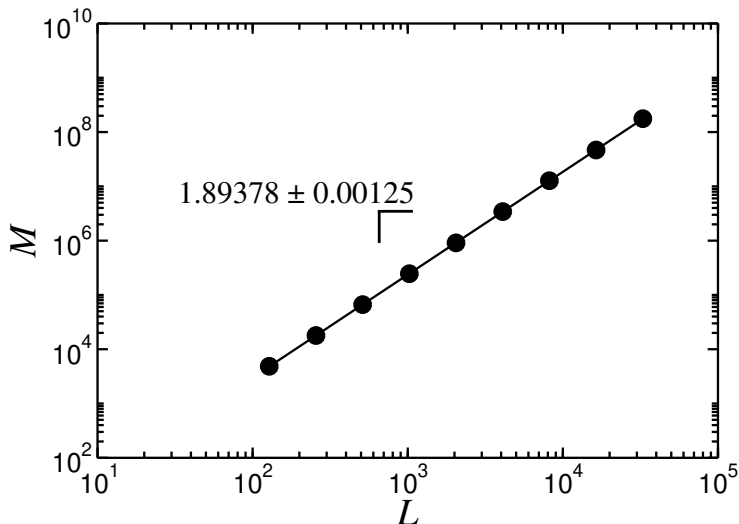
# Percolação Invasiva - Dimensão Fractal

Há dois modelos de percolação invasiva.

- O modelo de *percolação invasiva sem aprisionamento* (*No Trapping Invasion Percolation*) que tenta descrever o comportamento de um fluido infinitamente compressível, onde a dimensão fractal é  $D_f = 91/48 \simeq 1.8958 \simeq 1.89$ , para duas dimensões.
- O modelo de *percolação invasiva com aprisionamento* (*Trapping Invasion Percolation*), que tenta descrever o comportamento de um fluido incompressível, ou seja, quando há a formação permanente de bolhas do fluido defensor; onde a dimensão fractal é  $D_f = 1.82$ , para duas dimensões.
- Para três dimensões, a dimensão fractal é  $D_f = 2.5$  para ambos os casos, pois quase não existe aprisionamento.

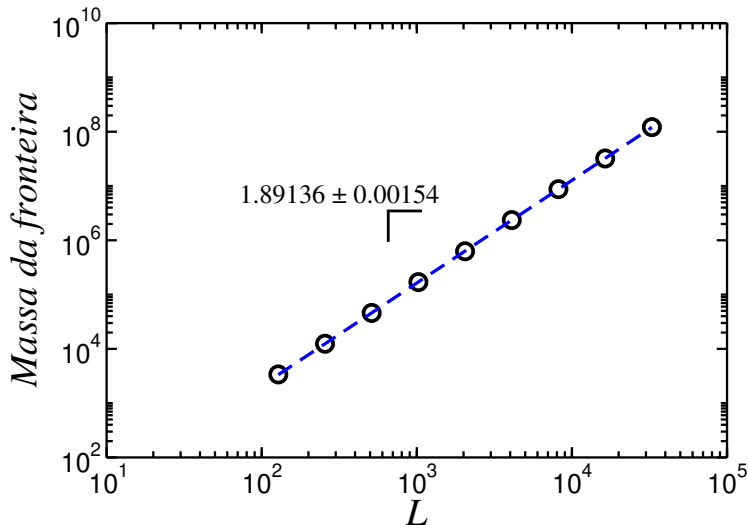
# Percolação Invasiva - Dimensão Fractal

**Figura** – Massa do agregado invasor em função do tamanho da rede.



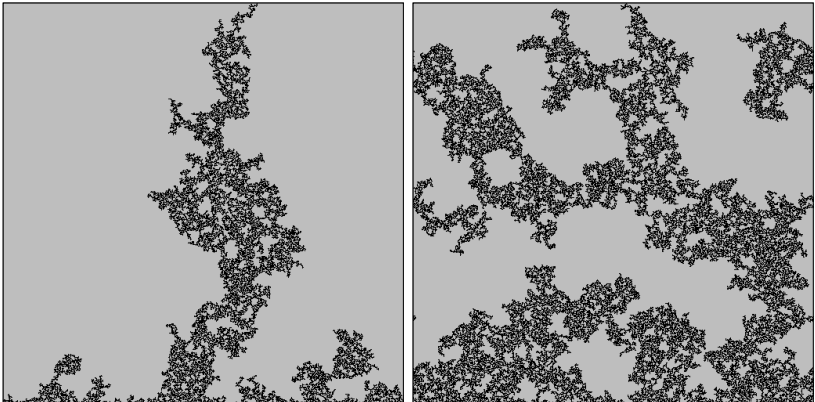
# Percolação Invasiva - Dimensão Fractal

Figura – Massa da fronteira em função do tamanho da rede.



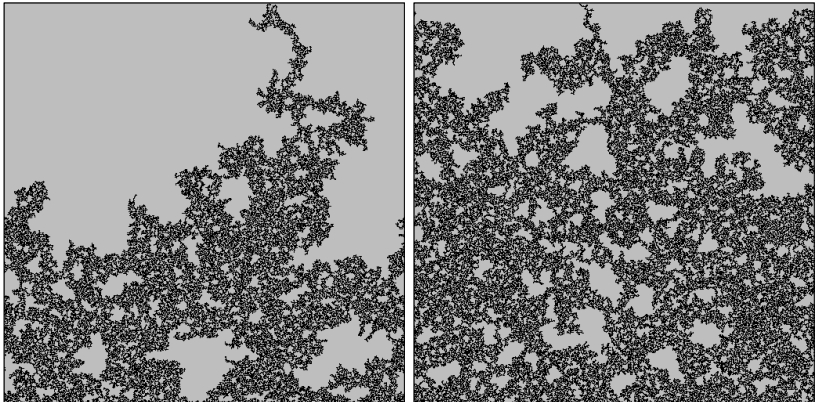
# Percolação Invasiva - Simulações

Figura – Exemplos de percolação invasiva sem aprisionamento para uma rede de lado  $L = 512$ .



# Percolação Invasiva - Simulações

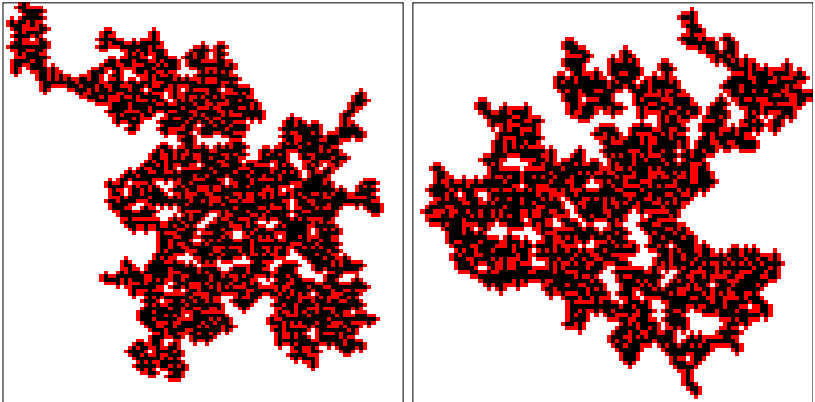
Figura – Exemplos de percolação invasiva sem aprisionamento para uma rede de lado  $L = 512$ .





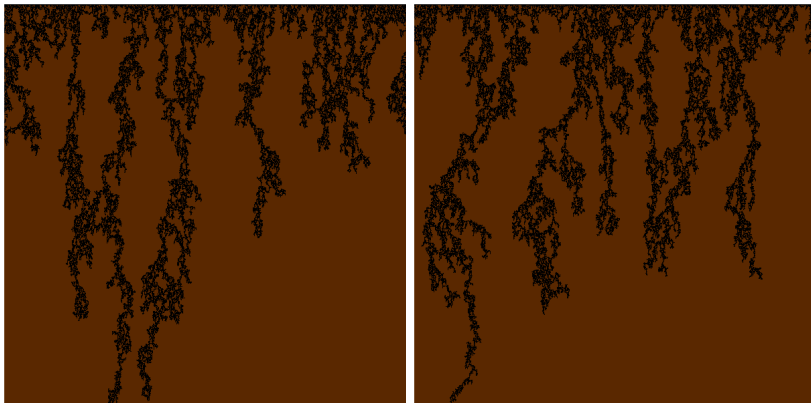
# Percolação Invasiva - Simulações

**Figura** – Exemplos de percolação invasiva sem aprisionamento partindo de uma célula central.



# Percolação Invasiva - Simulações

Figura – Exemplos de percolação invasiva (infiltrações no solo).

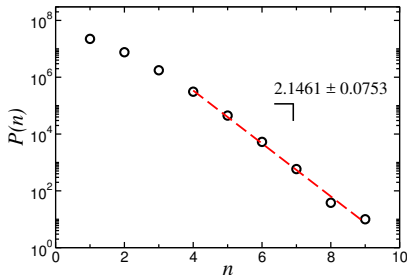


- No processo de invasão estão presentes as *avalanches*, que ocorrem quando há uma invasão sequencial de sítios menores. Uma avalanche pode ser definida de duas maneiras. Na primeira definição, uma avalanche ocorre ao invadir um sítio  $i$  de raio  $r_i$ , e em seguida também invadir uma série de outros sítios interconectados a partir do sítio  $i$  ( $i \rightarrow j \rightarrow k \rightarrow l \rightarrow \dots$ ) cujos raios sejam cada vez menores do que  $r_i$  ( $r_i > r_j > r_k > r_l > \dots$ ), para cada sítio invadido.

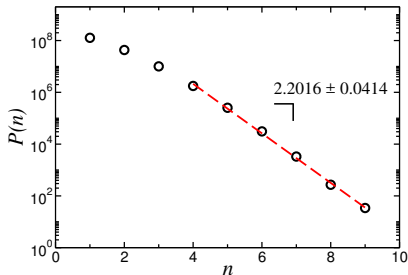
# Avalanches

- A figura abaixo mostra os histogramas (em escala semi-logarítmica) ( $P(n) \propto e^{-\alpha n}$ ) obtidos utilizando a primeira definição de avalanche.

Figura – Invasões sequenciais.



(a) 500 realizações de uma rede com  $L = 1024$ .



(b) 50 realizações de uma rede com  $L = 8192$ .

# Avalanches

- Na segunda definição, uma avalanche ocorre ao invadir um sítio  $i$  de raio  $r_i$ , e em seguida também invadir uma série de outros sítios (a partir de qualquer parte do agregado invasor) cujos raios sejam menores do que  $r_i$ .

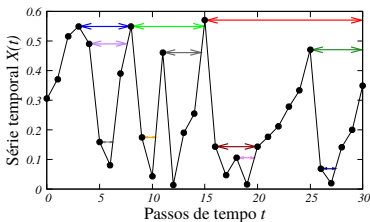
# Avalanches

- Na segunda definição, uma avalanche ocorre ao invadir um sítio  $i$  de raio  $r_i$ , e em seguida também invadir uma série de outros sítios (a partir de qualquer parte do agregado invasor) cujos raios sejam menores do que  $r_i$ .
- Na percolação invasiva, a distribuição de avalanches também apresenta um comportamento em lei de potência,  $P(s) \propto s^{-\tau}$ , onde  $\tau = 139/91 \simeq 1.527$  para redes bidimensionais e considerando as avalanches 'atrasadas' (Roux, 1989).

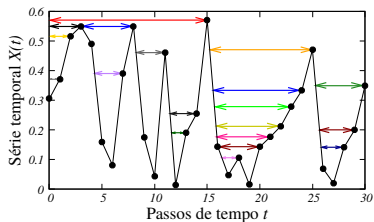
# Avalanches

- Considerando uma série temporal  $X(t)$ , pode-se definir o tamanho  $s$  de uma avalanche (ou *burst*) como um intervalo de tempo  $\Delta t$  (ou número de passos de tempo) de  $X(t)$  que inicia-se em um ponto  $t = t_a$ , de valor (ou altura)  $X(t_a) = H$  e termina em um ponto  $t = t_b$ , de altura igual ou superior à  $H$ , isto é,  $X(t_b) \geq H$ , tal que  $t_a < t_b$  e  $X(t) < H, \forall t \in (t_a, t_b)$ .

Figura – Invasões sequenciais.



(a) Avalanches 'progressivas' (*forward bursts*).

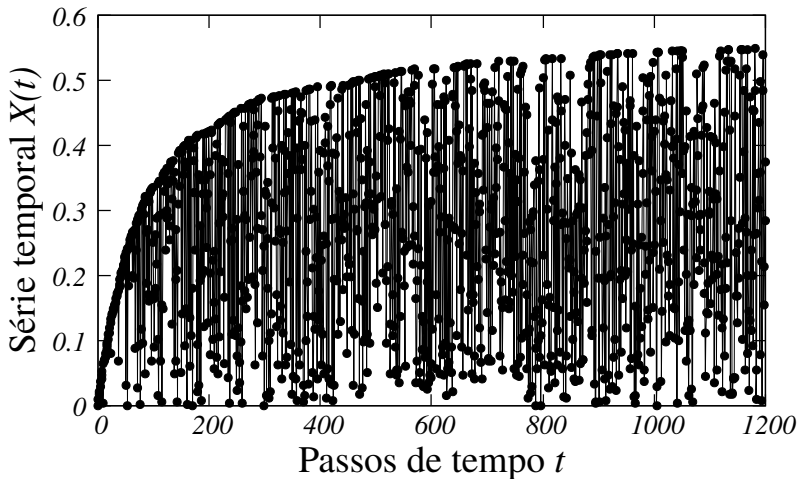


(b) Avalanches 'atrasadas' (*backward bursts*).

# Avalanches

Na percolação invasiva, a série temporal  $X(t)$  carrega os valores dos raios  $r_i$  de todos os sítios invadidos em ordem cronológica.

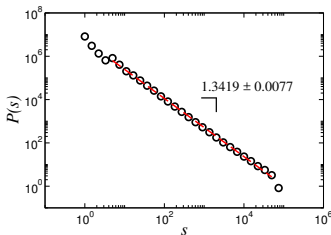
**Figura** – Trecho inicial da série temporal na percolação invasiva.



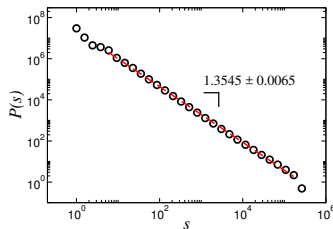


# Avalanches

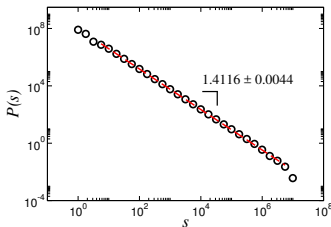
Figura – Distribuição dos tamanhos das avalanches (atrasadas).



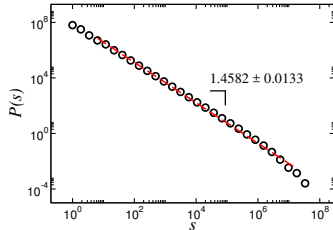
(a)  $L = 512$ ; 1000 amostras.



(b)  $L = 1024$ ; 1000 amostras.



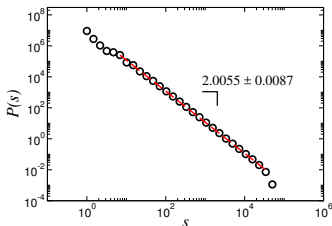
(c)  $L = 8192$ ; 50 amostras.



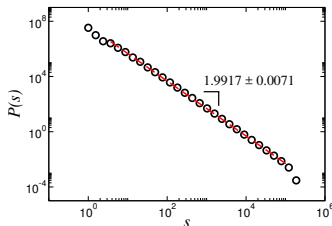
(d)  $L = 16384$ ; 10 amostras.

# Avalanches

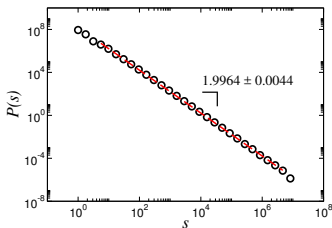
Figura – Distribuição dos tamanhos das avalanches (progressivas).



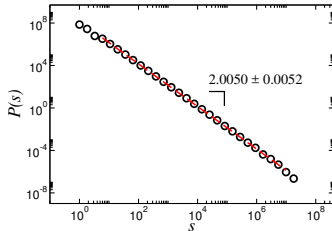
(a)  $L = 512$ ; 1000 amostras.



(b)  $L = 1024$ ; 1000 amostras.



(c)  $L = 8192$ ; 50 amostras.

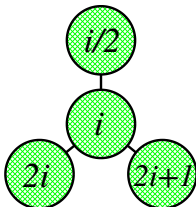


(d)  $L = 16384$ ; 10 amostras.

# Árvore binária armazenada em um vetor

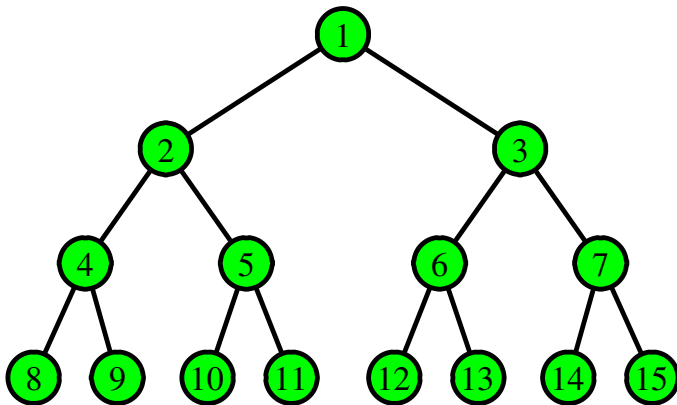
Em uma árvore binária, para todo índice  $i$ , vale:

$$\begin{aligned} \text{int}(i/2) & \text{ é o pai do índice } i, \text{ se } i \neq 1 \\ 2i & \text{ é o filho esquerdo de } i, \text{ se } 2i \leq n \\ 2i + 1 & \text{ é o filho direito de } i, \text{ se } 2i + 1 \leq n, \end{aligned} \tag{2}$$



# Árvore binária armazenada em um vetor

- A figura abaixo mostra um esquema ilustrativo de uma árvore binária.



---

**Algoritmo 2:** CORRIGE-DESCENDO( $A, n, i$ )

---

```
1 início
2    $j \leftarrow i$ 
3   enquanto  $2j \leq n$  faça
4      $f \leftarrow 2j$ 
5     Se  $f < (n - 1)$  e  $A[f] > A[f + 1]$ 
6        $f \leftarrow f + 1$ 
7     Se  $A[j] \leq A[f]$ 
8        $j \leftarrow n$ 
9     Senão
10      troque  $A[j] \leftrightarrow A[f]$ 
11       $j \leftarrow f$ 
12   fim
13 fim
```

---

---

**Algoritmo 3:** CORRIGE-SUBINDO( $A, m$ )

---

```
1 início
2    $i \leftarrow m$ 
3   enquanto  $i \geq 2$  e  $A[\text{int}(i/2)] > A[i]$  faça
4       troque  $A[\text{int}(i/2)] \leftrightarrow A[i]$ 
5        $i \leftarrow \text{int}(i/2)$ 
6   fim
7 fim
```

---

OBRIGADO!